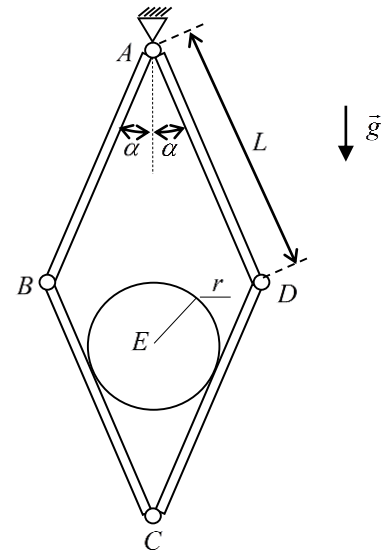




**MECÂNICA II - PME 3200 – Segunda Prova – 25 de maio de 2017**

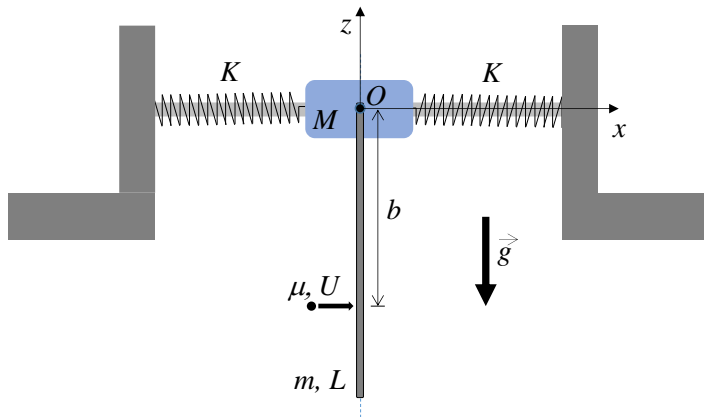
**Duração da Prova: 110 minutos (não é permitido uso de dispositivos eletrônicos)**

**1ª Questão (3,5 pontos).** As quatro barras articuladas  $AB$ ,  $BC$ ,  $CD$  e  $DA$ , de iguais comprimentos  $L$  e pesos  $P$ , formam um mecanismo plano ligado ao ponto fixo  $A$ . Um disco de raio  $r$  e peso  $Q$  apoia-se sobre as barras  $BC$  e  $CD$ , conforme indicado na figura. Admite-se que o atrito nas articulações e entre a superfície do disco e as das barras seja desprezível. O eixo  $Ay$  é vertical e orientado para baixo. Pede-se estabelecer a configuração de equilíbrio do sistema. Para tanto:



- (a) Escreva as coordenadas verticais dos centros de massa,  $y_1$ , do mecanismo de quatro barras e  $y_2$ , do disco.
- (b) Determine os deslocamentos virtuais  $\delta y_1$  e  $\delta y_2$ , em função de  $\delta \alpha$ .
- (c) A partir da aplicação do Princípio dos Trabalhos Virtuais, deduza a equação que permite calcular o ângulo  $\alpha$  correspondente ao equilíbrio estático do sistema.

**2ª Questão (3,5 pontos) - Baseado no EMSC-2017.** O dispositivo é composto por um bloco de massa  $M$  e uma barra de massa  $m$  e comprimento  $L$ . O bloco pode deslizar *sem atrito* ao longo de uma guia horizontal de seção quadrada. A barra, de distribuição homogênea de massa, está articulada ao bloco em  $O$ , podendo girar livremente e sem atrito em torno do eixo  $Oy$ , que é perpendicular ao plano da figura.



em torno do eixo  $Oy$ , que é perpendicular ao plano da figura. A base canônica  $(\vec{i}, \vec{j}, \vec{k})$  orienta o sistema cartesiano  $Oxyz$ . Considere o sistema em repouso na posição de equilíbrio trivial, i.e.,  $x(0)=0, \theta(0)=0$ . No instante  $t=0$ , uma partícula de massa  $\mu$ , choca-se contra a barra, com velocidade  $\vec{U} = U\vec{i}$ , conforme mostra a figura abaixo. Admitindo válidas as hipóteses de choque segundo Newton e conhecido o coeficiente de restituição,  $e$ , e os demais parâmetros do problema, determine os impulsos decorrentes do choque e a condição cinemática do sistema no instante  $t=0^+$ , a ele imediatamente posterior; ou seja:

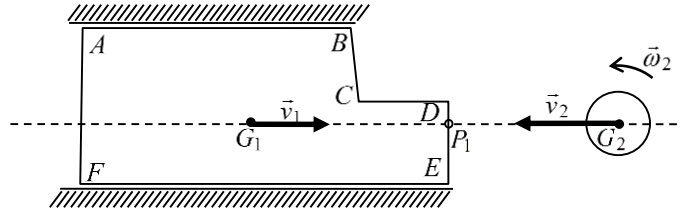
$$v'_0 = \dot{x}(0^+), \omega' = \dot{\theta}(0^+), \vec{U}' = U'\vec{i}.$$

Para tanto:

- (a) Construa os diagramas de corpo-livre do bloco, da barra e da partícula, indicando os impulsos sobre eles agentes. Denomine  $\vec{I}_1 = I_1\vec{i}$  o impulso transmitido à barra pela partícula e  $\vec{I}_2 = I_2\vec{i}$  o impulso reativo aplicado à barra pelo bloco.
- (b) Aplique os Teoremas da Resultante dos Impulsos à barra, ao bloco e à partícula.
- (c) Aplique o Teorema do Momento dos Impulsos à barra, tomando o polo em  $O$ .
- (d) Considere a hipótese de restituição de Newton e escreva uma relação entre  $v'_0, \omega', U'$ , em função de  $e$  e  $U$ .
- (e) Obtenha, então, um sistema de *três* equações lineares para a determinação de  $v'_0, \omega', U'$ .
- (f) Indique claramente as *duas* equações, decorrentes da dedução acima, que permitirão determinar  $I_1$  e  $I_2$ .



**3ª Questão (3,0 pontos).** A lâmina plana  $ABCDEF$  de massa  $m_1$  move-se com velocidade  $v_1 \vec{i}$  constante guiada por dois trilhos paralelos. Um disco de raio  $r$  e massa  $m_2$ , animado de velocidade angular  $\vec{\omega}_2$ , constante, move-se com velocidade  $-v_2 \vec{i}$ , constante, no mesmo plano do movimento da lâmina. Em um dado instante o disco colide com a lâmina à altura do ponto  $P_1$ , conforme indicado na figura. Considerando *desprezível o atrito entre todas as superfícies de contato*, pede-se:



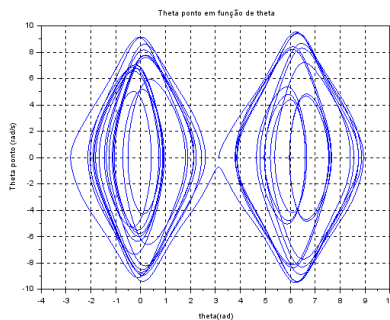
- desenhar os diagramas de impulsos para a lâmina e para o disco no instante da colisão;
- determinar a velocidade angular do disco imediatamente após a colisão;
- determinar o valor do coeficiente de restituição  $e$  e a relação entre as massas  $m_1$  e  $m_2$  para que, imediatamente após a colisão, a lâmina se mova com velocidade  $v_1 \vec{i} / 2$  e o disco com velocidade  $v_2 \vec{i} / 2$ .
- determinar o intervalo de variação da relação  $v_2 / v_1$  compatível com a situação descrita no item (c).

**4ª Questão (1,0 ponto).** Baseada nas simulações sugeridas no EMSC-2017, com os parâmetros  $m = 1\text{kg}$ ,  $L = 1\text{m}$ ,  $K = 10\text{N/m}$ ,  $g = 10\text{m/s}^2$ ,  $U = 1\text{m/s}$ . Os gráficos abaixo apresentam **três** projeções de trajetórias de fase no plano  $(\dot{\theta}, \theta)$ , correspondentes a **dois** conjuntos de condições iniciais distintos (dados no S.I.):

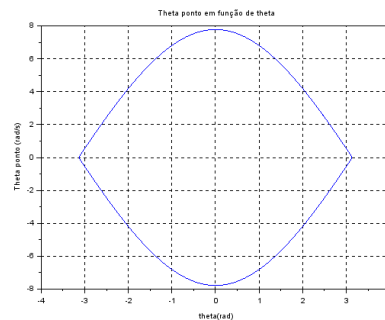
(1)  $x(0) = 0$ ;  $\theta(0) = (\pi - 0,01)$ ;  $\dot{x}(0) = 0$ ;  $\dot{\theta}(0) = 0$ ; (2)  $x(0) = 0,1$ ;  $\theta(0) = \pi$ ;  $\dot{x}(0) = 0$ ;  $\dot{\theta}(0) = 0$ .

Uma das três simulações utilizou o parâmetro  $M = 100\text{kg}$ ; as outras duas consideraram  $M = 1\text{kg}$ .

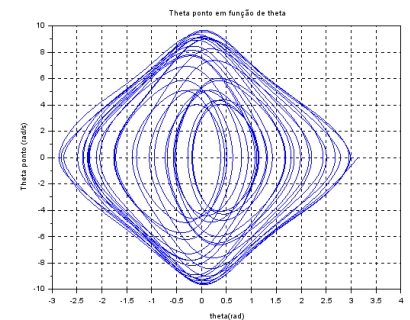
Simulação A



Simulação B



Simulação C



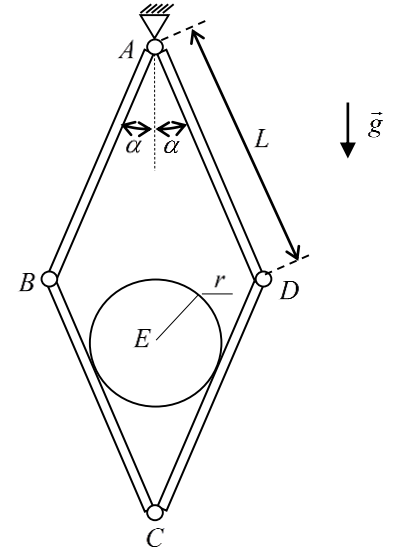
Identifique as simulações A, B e C aos correspondentes conjuntos de condições iniciais e ao respectivo parâmetro  $M$  nelas utilizado. Para tanto, construa uma tabela de correspondências, conforme modelo abaixo, indicando os números que identificam os conjuntos de condições iniciais (1 ou 2) e o respectivo valor de  $M$  (1kg ou 100kg). Justifique todas as respostas.

Simulação	Condição Inicial	$M$ (kg)	Justificativa
A			
B			
C			



MECÂNICA II - PME 3200 – Segunda Prova – 25 de maio de 2017  
RESOLUÇÃO

1ª Questão (3,5 pontos). As quatro barras articuladas  $AB$ ,  $BC$ ,  $CD$  e  $DA$ , de iguais comprimentos  $L$  e pesos  $P$ , formam um mecanismo plano ligado ao ponto fixo  $A$ . Um disco de raio  $r$  e peso  $Q$  apoia-se sobre as barras  $BC$  e  $CD$ , conforme indicado na figura. Admite-se que o atrito nas articulações e entre a superfície do disco e as das barras seja desprezível. O eixo  $Ay$  é vertical e orientado para baixo. Pede-se estabelecer a configuração de equilíbrio do sistema. Para tanto:



- (a) Escreva as coordenadas verticais dos centros de massa,  $y_1$ , do mecanismo de quatro barras e  $y_2$ , do disco.
- (b) Determine os deslocamentos virtuais  $\delta y_1$  e  $\delta y_2$ , em função de  $\delta \alpha$ .
- (c) A partir da aplicação do Princípio dos Trabalhos Virtuais, deduza a equação que permite calcular o ângulo  $\alpha$  correspondente ao equilíbrio estático do sistema.

Resolução:

- (a) As posições verticais dos centros de massa do mecanismo de quatro barras e do disco são dadas, respectivamente, por: (1,0)

$$y_1 = L \cos \alpha \tag{1}$$

$$y_2 = 2L \cos \alpha - \frac{r}{\sin \alpha} . \tag{2}$$

- (b) Das expressões acima, segue: (1,0)

$$\delta y_1 = -L \delta \alpha \sin \alpha \tag{3}$$

$$\delta y_2 = -2L \delta \alpha \sin \alpha + r \delta \alpha \frac{\cos \alpha}{\sin^2 \alpha} = \delta \alpha \left[ -2L \sin \alpha + r \frac{\cos \alpha}{\sin^2 \alpha} \right]. \tag{4}$$

- (c) Para determinar a configuração de equilíbrio do sistema aplicaremos o Princípio dos Trabalhos Virtuais.

Para um deslocamento virtual arbitrário  $\delta \alpha$ , tem-se: (1,0)

$$\delta \tau = 4P \delta y_1 + Q \delta y_2 = 4PL(-\delta \alpha \sin \alpha) + Q \delta \alpha \left[ -2L \sin \alpha + r \frac{\cos \alpha}{\sin^2 \alpha} \right] = 0 . \tag{5}$$

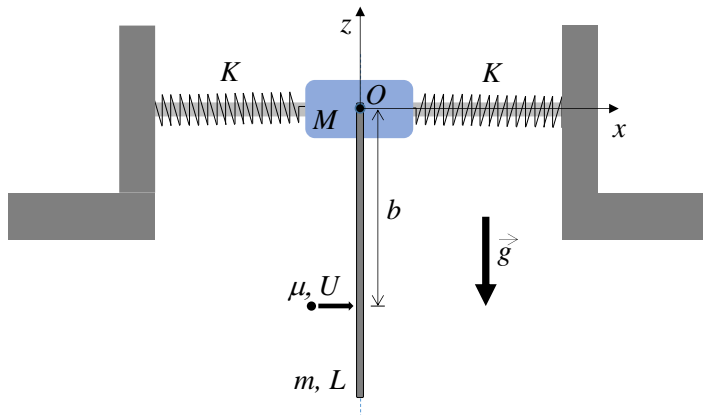
A expressão acima será verdadeira, independentemente do valor do deslocamento virtual  $\delta \alpha$ , se, necessariamente: (0,5)

$$(4P + 2Q)L \sin^3 \alpha - Qr \cos \alpha = 0 . \tag{6}$$

A equação anterior permite determinar o valor do ângulo  $\alpha$  compatível com o equilíbrio. Sua resolução requer a aplicação de métodos numéricos ou gráficos.



**2ª Questão (3,5 pontos) - Baseado no EMSC-2017.** O dispositivo é composto por um bloco de massa  $M$  e uma barra de massa  $m$  e comprimento  $L$ . O bloco pode deslizar *sem atrito* ao longo de uma guia horizontal de seção quadrada. A barra, de distribuição homogênea de massa, está articulada ao bloco em  $O$ , podendo girar livremente e sem atrito



em torno do eixo  $Oy$ , que é perpendicular ao plano da figura. A base canônica  $(\vec{i}, \vec{j}, \vec{k})$  orienta o sistema cartesiano  $Oxyz$ . Considere o sistema em repouso na posição de equilíbrio trivial, i.e.,  $x(0)=0, \theta(0)=0$ . No instante  $t=0$ , uma partícula de massa  $\mu$ , choca-se contra a barra, com velocidade  $\vec{U} = U\vec{i}$ , conforme mostra a figura abaixo. Admitindo válidas as hipóteses de choque segundo Newton e conhecido o coeficiente de restituição,  $e$ , e os demais parâmetros do problema, determine os impulsos decorrentes do choque e a condição cinemática do sistema no instante  $t=0^+$ , a ele imediatamente posterior; ou seja:

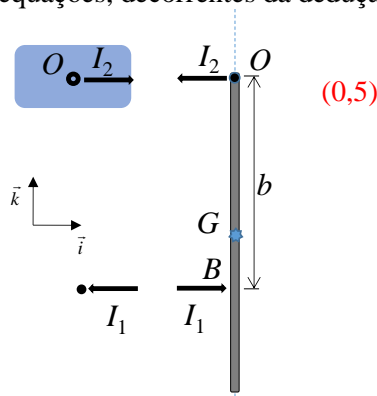
$$v'_0 = \dot{x}(0^+), \omega' = \dot{\theta}(0^+), \vec{U}' = U'\vec{i}.$$

Para tanto:

- Construa os diagramas de corpo-livre do bloco, da barra e da partícula, indicando os impulsos sobre eles agentes. Denomine  $\vec{I}_1 = I_1\vec{i}$  o impulso transmitido à barra pela partícula e  $\vec{I}_2 = I_2\vec{i}$  o impulso reativo aplicado à barra pelo bloco.
- Aplice os Teoremas da Resultante dos Impulsos à barra, ao bloco e à partícula.
- Aplice o Teorema do Momento dos Impulsos à barra, tomando o polo em  $O$ .
- Considere a hipótese de restituição de Newton e escreva uma relação entre  $v'_0, \omega', U'$ , em função de  $e$  e  $U$ .
- Obtenha, então, um sistema de *três* equações lineares para a determinação de  $v'_0, \omega', U'$ .
- Indique claramente as *duas* equações, decorrentes da dedução acima, que permitirão determinar  $I_1$  e  $I_2$ .

Resolução:

- (a) Digrama de corpo-livre:



- (b) Na configuração de choque considerada, com barra e bloco na posição de equilíbrio trivial e em condição inicial de repouso, i.e.,  $(x(0) = 0, \theta(0) = 0, v_o(0) = \dot{x}(0) = 0, \omega(0) = \dot{\theta}(0) = 0)$ , o TRI aplicado à barra, ao bloco e à partícula fornece:

$$mv'_G\vec{i} = (I_1 - I_2)\vec{i} \tag{1}$$

$$Mv'_O\vec{i} = I_2\vec{i} \tag{2}$$

$$\mu(U' - U)\vec{i} = -\vec{I}_1 = -I_1\vec{i} \tag{3}$$



Por outro lado, do campo de velocidades de um corpo rígido, segue que: (i)  $\vec{v}'_G = v'_G \vec{i} = (v'_O - \omega' \frac{L}{2}) \vec{i}$ ; (ii)  $\vec{v}'_B = v'_B \vec{i} = (v'_O - \omega' b) \vec{i}$ , com  $B$  o ponto de impacto. Segue então de (1) e (2) que

$$m(v'_O - \omega' \frac{L}{2}) = I_1 - Mv'_O \text{ a qual, utilizando (3), transforma-se em} \quad (0,5)$$

$$(m + M)v'_O - m \frac{L}{2} \omega' = \mu(U - U') \quad (4)$$

(c) Do TMI aplicado à barra (caso plano), com polo  $O$ , escreve-se: (0,5)

$$m(G - O) \wedge \Delta \vec{v}_O + m \frac{L^2}{3} \Delta \vec{\omega} = \vec{M}_O = (B - O) \wedge \vec{I}_1, \text{ que fornece}$$

$$-m \frac{L}{2} v'_O + m \frac{L^2}{3} \omega' = -I_1 b = \mu b(U' - U) \quad (5)$$

(d) Supondo válida a hipótese de restituição de Newton, escreve-se  $v'_B - U' = -e(-U) = eU$ , a qual, com o uso da relação cinemática (ii), transforma-se em (0,5)

$$v'_O - \omega' b - U' = eU \quad (6)$$

(e) As equações (4), (5) e (6), abaixo reescritas, formam um sistema linear (7), de 3 equações, que deve ser resolvido para a obtenção das incógnitas ( $v'_O$ ,  $\omega'$ ,  $U'$ ): (0,5)

$$\begin{cases} (m + M)v'_O - m \frac{L}{2} \omega' + \mu U' = \mu U \\ m \frac{L}{2} v'_O - m \frac{L^2}{3} \omega' + \mu b U' = \mu b U \\ v'_O - b \omega' - U' = eU \end{cases} \quad (7)$$

Note que as equações (7) podem ser escritas na forma matricial:

$$\mathbf{A} \mathbf{y} = \mathbf{u}$$

$$\mathbf{A} = \begin{bmatrix} (m + M) & -m \frac{L}{2} & \mu \\ m \frac{L}{2} & -m \frac{L^2}{3} & \mu b \\ 1 & -b & -1 \end{bmatrix}; \quad \mathbf{y} = \begin{bmatrix} v'_O \\ \omega' \\ U' \end{bmatrix}; \quad \mathbf{u} = U \begin{bmatrix} \mu \\ \mu b \\ e \end{bmatrix} \quad (8)$$

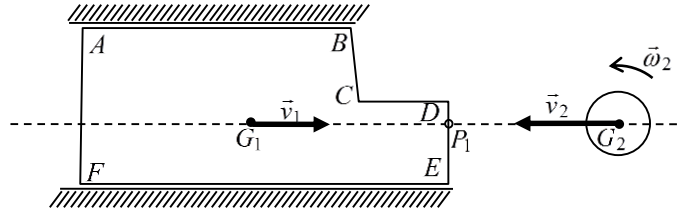
(f) As equações (2) e (3), com  $v'_O, U'$  determinados de (7), permitem calcular  $I_1$  e  $I_2$ : (0,5)

$$I_1 = \mu(U - U')$$

$$I_2 = Mv'_O \quad (9)$$



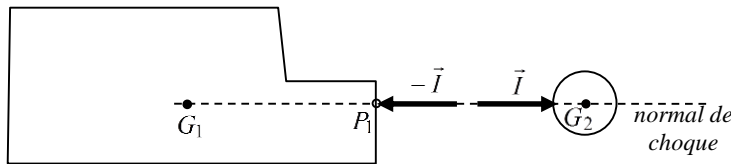
**3ª Questão (3,0 pontos).** A lâmina plana  $ABCDEF$  de massa  $m_1$  move-se com velocidade  $v_1 \vec{i}$  constante guiada por dois trilhos paralelos. Um disco de raio  $r$  e massa  $m_2$ , animado de velocidade angular  $\vec{\omega}_2$ , constante, move-se com velocidade  $-v_2 \vec{i}$ , constante, no mesmo plano do movimento da lâmina. Em um dado instante o disco colide com a lâmina à altura do ponto  $P_1$ , conforme indicado na figura. Considerando *desprezível o atrito entre todas as superfícies de contato*, pede-se:



- desenhar os diagramas de impulsos para a lâmina e para o disco no instante da colisão;
- determinar a velocidade angular do disco imediatamente após a colisão;
- determinar o valor do coeficiente de restituição  $e$  e a relação entre as massas  $m_1$  e  $m_2$  para que, imediatamente após a colisão, a lâmina se mova com velocidade  $v_1 \vec{i} / 2$  e o disco com velocidade  $v_2 \vec{i} / 2$ .
- determinar o intervalo de variação da relação  $v_2 / v_1$  compatível com a situação descrita no item (c).

*Resolução:*

- Os diagramas de impulsos, no instante da colisão, são apresentados na figura abaixo: (0,5)



- Aplicando-se o Teorema do Momento dos Impulsos para o disco, obtém-se sua velocidade angular imediatamente após a colisão: (0,5)

$$\Delta \vec{H}_{G_2} = \vec{M}_{G_2} = \vec{0} \Rightarrow J_{G_2 z} (\vec{\omega}'_2 - \vec{\omega}_2) = \vec{0} \Rightarrow \omega'_2 = \omega_2 \quad (1)$$

- Aplicando-se o Teorema da Resultante dos Impulsos para a lâmina e para o disco, obtém-se a relação entre suas massas, coerente com as condições do enunciado: (0,5)

$$m_1 (v'_1 - v_1) = -I \Rightarrow \frac{v_1}{2} - v_1 = -\frac{I}{m_1} \Rightarrow I = m_1 \frac{v_1}{2} \quad (2)$$

$$m_2 (v'_2 - (-v_2)) = I \Rightarrow \frac{v_2}{2} + v_2 = \frac{I}{m_2} \Rightarrow I = m_2 \frac{3v_2}{2} \Rightarrow m_1 \frac{v_1}{2} = m_2 \frac{3v_2}{2} \Rightarrow \frac{m_1}{m_2} = 3 \frac{v_2}{v_1} \quad (3)$$

Sendo  $P_1$  e  $P_2$ , respectivamente, os pontos de contato da lâmina e do disco no instante do choque, suas velocidades, nos instantes imediatamente anterior e imediatamente posterior a esse evento, são dados por: (0,5)

$$\vec{v}_{P_1} = \vec{v}_1 = v_1 \vec{i} \quad (4)$$

$$\vec{v}'_{P_1} = \vec{v}'_1 = \frac{v_1}{2} \vec{i} \quad (5)$$



$$\vec{v}_{P_2} = -v_2 \vec{i} + \omega \vec{k} \wedge (P_2 - G) = -v_2 \vec{i} + \omega \vec{k} \wedge (-r \vec{i}) = -v_2 \vec{i} - \omega r \vec{j} \quad (6)$$

$$\vec{v}'_{P_2} = \frac{v_2}{2} \vec{i} + \omega' \vec{k} \wedge (P_2 - G) = \frac{v_2}{2} \vec{i} + \omega' \vec{k} \wedge (-r \vec{i}) = \frac{v_2}{2} \vec{i} - \omega' r \vec{j} \quad (7)$$

A hipótese de Newton para o caso de choque central entre corpos rígidos fornece o valor do coeficiente de restituição.

(0,5)

$$u' = (\vec{v}'_{P_2} - \vec{v}'_{P_1}) \cdot \vec{i} = -eu = -e(\vec{v}_{P_2} - \vec{v}_{P_1}) \cdot \vec{i} \Rightarrow \left[ \frac{v_2}{2} \vec{i} - \omega r \vec{j} - \left( \frac{v_1}{2} \vec{i} \right) \right] \cdot \vec{i} = -e(-v_2 \vec{i} - \omega r \vec{j} - v_1 \vec{i}) \cdot \vec{i} \Rightarrow$$
$$\Rightarrow e = \frac{1}{2} \frac{v_2 - v_1}{v_1 + v_2} \quad (8)$$

(d) Para que a expressão do coeficiente de restituição e seja válida, a seguinte condição deve ser satisfeita: (0,5)

$$0 \leq e = \frac{1}{2} \frac{v_2 - v_1}{v_1 + v_2} \leq 1 \quad (9)$$

As duas desigualdades acima implicam que:

$$v_2 > v_1 \quad (10)$$

e

$$v_2 - v_1 \leq 2v_1 + 2v_2 \Rightarrow v_2 \geq -3v_1 \quad (11)$$

Conclui-se, portanto, que o movimento descrito é possível, desde que

$$\frac{m_1}{m_2} = 3 \frac{v_2}{v_1} \quad (12)$$

e

$$v_2 \geq v_1 \quad (13)$$

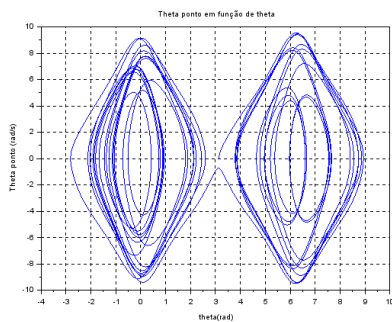


**4ª Questão (1,0 ponto).** Baseada nas simulações sugeridas no EMSC-2017, com os parâmetros  $m=1\text{kg}$ ,  $L=1\text{m}$ ,  $K=10\text{N/m}$ ,  $g=10\text{m/s}^2$ ,  $U=1\text{m/s}$ . Os gráficos abaixo apresentam **três** projeções de trajetórias de fase no plano  $(\dot{\theta}, \theta)$ , correspondentes a **dois** conjuntos de condições iniciais distintos (dados no S.I.):

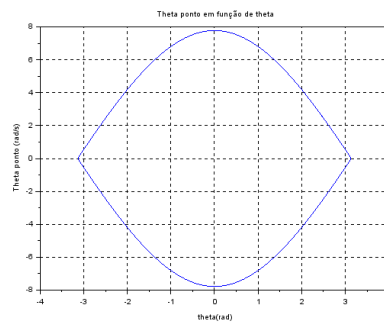
(1)  $x(0)=0$ ;  $\theta(0)=(\pi-0,01)$ ;  $\dot{x}(0)=0$ ;  $\dot{\theta}(0)=0$ ; (2)  $x(0)=0,1$ ;  $\theta(0)=\pi$ ;  $\dot{x}(0)=0$ ;  $\dot{\theta}(0)=0$ .

Uma das três simulações utilizou o parâmetro  $M=100\text{kg}$ ; as outras duas consideraram  $M=1\text{kg}$ .

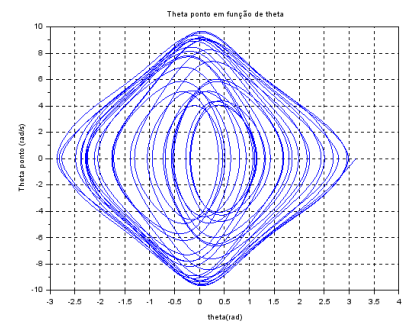
Simulação A



Simulação B



Simulação C



Identifique as simulações A, B e C aos correspondentes conjuntos de condições iniciais e ao respectivo parâmetro  $M$  nelas utilizado. Para tanto, construa uma tabela de correspondências, conforme modelo abaixo, indicando os números que identificam os conjuntos de condições iniciais (1 ou 2) e o respectivo valor de  $M$  (1kg ou 100kg). Justifique todas as respostas.





Resolução:

(1,0)

Simulação	Condição Inicial	$M$ (kg)	Justificativa
A	(2)	1	O sistema parte com o pêndulo na vertical, acima do bloco, a partir do repouso, com o bloco deslocado para a direita de 0,1m. Nesta configuração as molas aplicam ao bloco força restauradora para a esquerda, o que faz com que sua aceleração inicial tenha esta mesma orientação. O equilíbrio do pêndulo nesta posição é instável e a aceleração inicial do bloco para a esquerda faz com que a aceleração angular do pêndulo se dê no sentido horário (positivo). A trajetória no plano de fase apresentado indica que o movimento se inicia como descrito, evoluindo para uma sequência de oscilações em torno do ponto de equilíbrio $(0;2\pi)$ , que é um centro estável. A energia mecânica inicial do sistema é suficientemente alta para que o movimento evolua com oscilações em torno do ponto de equilíbrio $(0;0)$ , também um centro estável. Fica evidente que os pontos de equilíbrio $(0;n\pi)$ , $n$ ímpar, são instáveis (pontos de sela). Já os pontos de equilíbrio $(0;2n\pi)$ são estáveis (centros estáveis). O movimento é não periódico. As oscilações do pêndulo têm amplitude variável, atingindo valores inferiores a $\pi$ .
B	(1)	100	O sistema parte do repouso, com o pêndulo em posição praticamente vertical, $x(0) = 0$ ; $\theta(0) = (\pi - 0,01)$ ; $\dot{x}(0) = 0$ ; $\dot{\theta}(0) = 0$ , e passa a oscilar em torno do ponto de equilíbrio trivial, centro estável. A inércia do bloco é muito grande, de sorte que o pêndulo pouco altera sua posição. Como consequência, a trajetória apresentada no plano de fase $(\dot{\theta}, \theta)$ é praticamente a mesma que seria verificada se a articulação $O$ estivesse fixa, quando então o sistema dinâmico se reduziria a um pêndulo composto. O movimento é visivelmente periódico e as amplitudes de oscilação do pêndulo são de grande amplitude, muito próximas de $\pi$ .
C	(1)	1	A condição inicial do sistema é a mesma da simulação B. No entanto as massas dos subsistemas bloco e pêndulo são as mesmas, de tal sorte que a interação dinâmica é bastante acentuada. O movimento é não periódico. A trajetória apresentada no plano de fase $(\dot{\theta}, \theta)$ mostra grandes oscilações do pêndulo, porém de amplitude variável, atingindo valores inferiores a $\pi$ .